

**การศึกษาพฤติกรรมของผนังอิฐก่อโบราณเสริมด้วย Fiber-Reinforced Polymer (FRP)
ภายใต้แรงกระทำทางด้านข้างแบบวัฏจักร**

**Study on the Behavior of Ancient Masonry Wall Retrofitted using Fiber-Reinforced Polymer (FRP)
Under Lateral Cyclic Load**

ชินโซดิ บรรจงปูรุ¹ และหนิง จิ่ง²

บทคัดย่อ

ในราลสถานในประเทศไทยเป็นสิ่งก่อสร้างที่มีอารยธรรมมาช้านาน ส่วนใหญ่จะใช้อิฐเป็นวัสดุก่อสร้างหลักด้วยลักษณะของโครงสร้างเป็นผนังอิฐก่อและไม่ได้คำนึงถึงเรื่องของการรับแรงดันด้านข้างหรือแรงสั่นสะเทือนการต้านทานแรงดันสั่นสะเทือนทางด้านข้างจึงไม่สามารถที่จะต้านทานได้ดีพอ ทำให้เกิดความชำรุดเสียหายได้ง่าย อันอาจจะนำไปสู่การวินิจฉัยได้ในที่สุด การศึกษาพฤติกรรมการรับแรงสั่นสะเทือนทางด้านข้างของผนังอิฐก่อโบราณ โดยเสริม Fiber-Reinforced Polymer (FRP) เพื่อกำหนดความสามารถในการรับแรงดันทางด้านข้าง หรือแรงสั่นสะเทือนในผนังอิฐก่อโบราณได้เพื่อเป็นข้อมูลในการบูรณะซ่อมแซมโบราณสถานหรือในงานที่จะต้องก่อสร้างขึ้นมาใหม่เพื่อเพิ่มเติมจากของเก่าที่มีอยู่ให้มีความสมบูรณ์โดยทดสอบผนังอิฐก่อโบราณตัวอย่าง จำนวน 4 ตัวอย่าง ขนาด $1.50 \times 1.50 \times 0.60$ ม แบ่งออกเป็นผนังตัวอย่างที่ไม่เสริมวัสดุ FRP จำนวน 1 ตัวอย่าง ผนังตัวอย่างเมื่อเกิดการวินิจฉัย และซ่อมแซมด้วย FRP จำนวน 1 ตัวอย่าง ผนังตัวอย่างเสริมด้วย FRP ร้อยละ 40 ของพื้นที่ผิวผนัง เป็นແຄบตารางแนวตั้งและแนวนอน 1 ด้าน จำนวน 1 ตัวอย่าง โดยให้แรงกระทำด้านข้างแบบช้าไปช้ามาก จนผนังตัวอย่างไม่สามารถรับแรงกระทำได้อีก ผลการทดสอบดังกล่าวพบว่า ผนังตัวอย่างที่ไม่เสริมวัสดุ FRP สามารถรับแรงกระทำด้านข้างได้สูงสุด 16.00 กิโลนิวตัน ผนังตัวอย่างเมื่อเกิดการวินิจฉัย และซ่อมแซมด้วย FRP สามารถรับแรงกระทำด้านข้างได้สูงสุด 25.00 กิโลนิวตัน ผนังตัวอย่างเสริมด้วย FRP ร้อยละ 40 ของพื้นที่ผิวผนัง ในแนวากบาท 1 ด้าน สามารถรับแรงกระทำด้านข้างได้สูงสุด 50.87 กิโลนิวตัน ผนังตัวอย่างเสริมด้วย FRP ร้อยละ 40 ของพื้นที่ผิวผนัง เป็นແຄบตารางแนวตั้งและแนวนอน 1 ด้าน สามารถรับแรงกระทำด้านข้างได้สูงสุด 22.61 กิโลนิวตัน จึงสรุปได้ว่า ผนังตัวอย่างเสริมด้วย FRP ร้อยละ 40 ของพื้นที่ผิวผนัง ในแนวากบาท 1 ด้าน สามารถรับแรงกระทำด้านข้างได้สูงสุด จากผลการวิจัยนี้ทำให้ได้แนวทางในการพัฒนาการรับแรงกระทำด้านข้างแบบช้าไปช้ามาเสริมด้วย FRP ต่อไป

คำสำคัญ: ผนังอิฐก่อโบราณ, เส้นใยแก้ว, แรงกระทำทางด้านข้างแบบวัฏจักร

Abstract

Thai ancient architecture has been constructed for a long time. Principally, The architectures were made from wall constructed by bricks. They were constructed without calculated with lateral load, and impact load. It was ready to fall down

¹นักศึกษาปริญญาโท สาขาวิศวกรรมโยธา คณะวิศวกรรมศาสตร์ มหาวิทยาลัยเทคโนโลยีราชมงคลล้านนา

²อาจารย์ประจำภาควิชาชีวกรรมโยธา คณะวิศวกรรมศาสตร์ มหาวิทยาลัยเทคโนโลยีราชมงคลล้านนา

because it could not resist to pressure of side impact to the wall. The studied of side impact of a wall constructed by brick of historic ancient by using Fiber-Reinforced Polymer (FRP) will specified the ability of resistant for compressive pressure to the impact on the side of the wall. It is the important data to restore historic ancient, and in case of innovate to add more perfection of the architect. There are four ancient walls sample testing, size 1.50x1.50x0.60 m. the first wall without FRP reinforce, the second wall after failure fixed with FRP reinforce, the third wall reinforce 40% of the wall's surface with diagonal FRP's sheets. The fourth wall reinforce 40% of the wall's surface with vertical and horizontal FRP's strips. Which all of them under lateral cyclic load until the walls fall down. The test results showed that the wall without FRP reinforce has resist to the wall's side maximum load to 16.00 kN. And after the wall failure were fixed with FRP reinforce has resist to the wall's side maximum load to 25.00 kN. The third wall reinforce 40% of the wall surface with diagonal FRP's strips has resist of the wall side maximum load to 50.87 kN. The fourth wall reinforced 40% of the wall's surface with vertical and horizontal FRP's strips has resist of the wall side maximum load to 22.61 kN. Then can summarize that the ancient masonry wall specimen reinforced 40% of the wall surface with diagonal FRP's strips has resist of the wall side maximum lateral cyclic load. From this research result make the guidelines in the future development of Retrofitted using FRP under lateral cyclic load.

Keywords: ancient masonry wall, glass fiber reinforced polymer, lateral cyclic load

1. บทนำ

โบราณสถานในประเทศไทยเป็นสิ่งก่อสร้างที่มีอารยธรรมมาช้านาน และเป็นสิ่งสำคัญในการบ่งบอกถึงประเพณี วัฒนธรรม ตลอดจนความรู้ ความชำนาญ ในการใช้เทคโนโลยีในงานก่อสร้างในแต่ละยุคได้เป็นอย่างดีโบราณสถานในสมัยก่อนส่วนใหญ่จะใช้อิฐเป็นวัสดุก่อสร้างหลัก ซึ่งอิฐทำมาจากดินเหนียว และวัสดุอื่นๆ เช่น ทราย หินแม่น้ำ เป็นต้น กระบวนการเผา ทำให้อิฐมีความแข็งแรงทนทานพอที่จะใช้เป็นวัสดุในการก่อสร้างโบราณสถาน ได้ด้วยลักษณะของโครงสร้างโบราณสถานเป็นโครงสร้างผนังอิฐก่อ และไม่ได้คำนึงถึงเรื่องของการรับแรงดันด้านข้างหรือแรงสั่นสะเทือนอันเนื่องจากความรู้และวิทยาการในงานก่อสร้างในสมัยนี้ การต้านทานแรงดันสั่นสะเทือนทางด้านข้างจึงไม่สามารถที่จะต้านทานได้ดีพอ ทำให้เกิดความชำรุดเสียหายได้ง่าย อันอาจจะนำไปสู่การบิบัดได้ในที่สุด การบูรณะซ่อมแซมโบราณสถานให้อยู่ในสภาพที่สมบูรณ์ จึงเป็นสิ่งที่สำคัญ และมีความจำเป็นต้องอาศัยความรู้และข้อมูลทางวิศวกรรม เพื่อเสริมความมั่นคงแข็งแรง

ของผนังอิฐก่อซึ่งเป็นโครงสร้างหลักของโบราณสถาน

วัสดุเสริมแรง Fiber-Reinforced Polymer (FRP) ซึ่งมีคุณสมบัติเป็นวัสดุที่มีน้ำหนักเบา ทนทาน มีความยืดหยุ่น ทนทานต่อสภาพอากาศ การผุกร่อนต่อฤทธิ์สารเคมี กรด ด่างได้ดี ไม่เป็นสนิมอย่างการใช้งานยาวนานและ โดยเฉพาะคุณสมบัติเด่นที่มีความแข็งแรงสามารถแรงดึงได้สูงวัสดุ FRP มีลักษณะเป็นแผ่นสามารถใช้ได้ในลักษณะงานซ่อมแซมเพื่อลดขนาดรอยแตกร้าว (crack size) ซึ่งอาจจะก่อผลเสียหายให้กับโครงสร้างหรือทำให้โครงสร้างกลับคืนสู่สภาพเดิม และประยุกต์ใช้ในงานก่อสร้างใหม่เพื่อเสริมความแข็งแรงของโครงสร้าง

การศึกษาพฤติกรรมการรับแรงสั่นสะเทือนทางด้านข้างของผนังอิฐก่อโบราณ โดยเสริม Glass Fiber-Reinforced Polymer (GFRP) จะสามารถกำหนดความสามารถในการรับแรงดันทางด้านข้าง หรือแรงสั่นสะเทือนในผนังอิฐก่อโบราณได้ ซึ่งจะเป็นข้อมูลและเป็นการพัฒนาเทคโนโลยีด้านงานก่อสร้างที่สำคัญ และเป็นทางเลือกหนึ่งในการบูรณะซ่อมแซมโบราณสถาน ซึ่งส่วนใหญ่โครงสร้างเป็น

ผนังอิฐก้อนนั้นให้มีความมั่นคงแข็งแรงลดความเสียหายกับโครงสร้างโบราณสถานหรือในงานที่จะต้องก่อสร้างขึ้นมาใหม่เพื่อเพิ่มความจากของเก่าที่มีอยู่ให้มีความสมบูรณ์ และสามารถด้านทานแรงสั่นสะเทือนทางด้านข้างหรือแรงแผ่นดินไหวได้ดีขึ้นด้วย

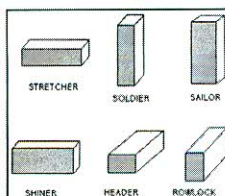
2. ทฤษฎีและงานวิจัยที่เกี่ยวข้อง

2.1 รูปแบบการวางอิฐ และการเรียงอิฐ

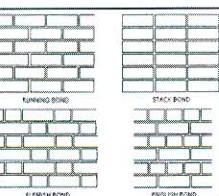
การวางอิฐแบ่งออกเป็น 6 แบบ คือ Stretcher, Header, Rowlock, Shiner, Soldier, Sailor

การเรียงอิฐสามารถเรียกว่า 4 แบบ คือ Running bond, Stack bond, Flemish bond, English bond

จากการสำรวจผนังอิฐโบราณของโบราณสถานในสมัยอยุธยา ส่วนใหญ่จะวางอิฐแบบ Stretcher และเรียงอิฐแบบ English bond ดังนั้นผนังอิฐก้อนโบราณทดสอบสำหรับงานวิจัยนี้จึงใช้รูปแบบการวางอิฐแบบ Stretcher และเรียงอิฐแบบ English bond



รูปแบบการวางอิฐ



รูปแบบการเรียงอิฐ

รูปที่ 1 รูปแบบการวางอิฐ และการเรียงอิฐ

2.2 คุณลักษณะที่ต้องการของอิฐกดแทนอิฐโบราณ

อิฐที่ใช้ในการวิจัยนี้เป็นอิฐใหม่สำหรับบูรณะโบราณสถานอายุประมาณหนึ่งปี ซึ่งในปัจจุบันมีแหล่งทำอิฐอยู่ที่บริเวณริมคลองระบายน้ำ ตำบลคลุ่มพลี อำเภอพระนครศรีอยุธยา จังหวัดพระนครศรีอยุธยา จากการทดสอบมีกำลังอัดประดับ 52.72 กก./ซม.² และค่าซึ้งไม่คุ้ลลักษณะยืดหยุ่น 30,190 กก./ซม.² ซึ่งมีค่าใกล้เคียงกับผลงานวิจัยของสุชาญ (2543) โดยทดสอบอิฐโบราณที่หลุดร่วงจากโบราณสถานที่สามารถประมาณอายุก่อสร้างได้ อิฐโบราณช่วงอายุ 50-200 ปี มีกำลังอัดประดับ 46.11 กก./ซม.² และค่าซึ้งไม่คุ้ลลักษณะยืดหยุ่น 36,744 กก./ซม.² และจากแหล่งผลิตอิฐ

ทศแทนอิฐโบราณดังกล่าวซึ่งมีลักษณะคล้ายคลึงกับอิฐโบราณส่วนใหญ่ในสมัยอยุธยา โดยมีงานวิจัยที่เกี่ยวข้องดังนี้ ชาดิชา (2539) ผลการศึกษาองค์ประกอบของอิฐในปัจจุบันที่ยังมีการผลิตอยู่ที่บ้านคุณพลีบริเวณริมคลองระบายน้ำมีลักษณะคล้ายคลึงกับอิฐส่วนใหญ่ในสมัยอยุธยาซึ่งมีลักษณะทางกายภาพทางเคมีและชนิดทางชลุสฐานที่ใกล้เคียงกัน แสดงให้เห็นว่าวิธีการทำอิฐและชนิดดิน ซึ่งเป็นวัสดุที่ใช้มีความคล้ายคลึงกันและมีความต่อเนื่องถ่ายทอดกันมาตั้งแต่สมัยอยุธยา

สุชาดิ (2543) ได้ดำเนินการทดสอบหาความสามารถในการรับกำลังอัดของอิฐสามตัวฯ ของตัวอย่างอิฐโบราณที่หลุดร่วงจากโบราณสถานที่สามารถประมาณอายุได้ตั้งแต่ 50 - 410 ปี เปรียบเทียบกับกำลังแรงอัดของอิฐที่มีการผลิตในปัจจุบัน อายุประมาณ 1 ปีสำหรับใช้ในการก่อสร้างและบูรณะโบราณสถาน ภายในจังหวัดพระนครศรีอยุธยา บริเวณริมคลองระบายน้ำ ตำบลคลุ่มพลี อำเภอพระนครศรีอยุธยาผลการวิจัยพบว่ามีความสามารถในการรับกำลังอัด และไม่คุ้ลลักษณะยืดหยุ่นใกล้เคียงกัน

2.3 นอร์ต้าร์ที่ใช้ในการก่อสร้างและบูรณะโบราณสถาน

สมชาติ(2540) ปูนที่มีคุณสมบัติเหมาะสมที่สุดสำหรับโบราณสถานกีคือ ปูนแบบโบราณ ซึ่งหมักจากปูนขาวมีความแข็งแรงพอประมาณ มีความพรุน และความยืดหยุ่นค่อนข้างสูงพอเหมาะสมสำหรับกำแพงอิฐโบราณ การเตรียมปูนหมักแบบโบราณ มีขั้นตอนและรายละเอียดดังต่อไปนี้

1) การเตรียมปูนขาวเพื่อใช้ทำปูนหมัก เพาหินปูน ด้วยความร้อนสูง เพื่อไล่คาร์บอนไดออกไซด์ หินปูนจะแตกออกเป็นก้อนสีขาว เรียกว่า ปูนดิน

2) การหมักปูนดินกีของการทำให้ปูนดินดูดซึมน้ำแล้วก่อลายสภาพเป็นปูนเหนียว นำปูนดินไปแช่ในน้ำอุ่นก่อนให้น้ำสูงกว่าปูน 2.5 เซนติเมตร เมื่อใส่ปูนดินลงไปในน้ำจะเกิดปฏิกิริยาปูนแตกตัวอย่างรุนแรง น้ำและปูนร้อนจัดจนอุ่นเหมือนสูงถึงจุดเดือด ให้กวนปูนอยู่เรื่อยๆ จนกว่าปฏิกิริยาจะหยุดเมื่อปฏิกิริยาหยุดและนำไปน้ำอุ่นกวนแห้งจะ

ได้ปูนขาวเหนียว นำปูนขาวเหนียวเข้าไปในห้องก่อหินก่อ ลักษณะร่องผ่านตัวโครงขนาด 5 มิลลิเมตร เก็บปูนขาวเหนียวไว้ได้น้ำ 60 วันขึ้นไป

3) การผสมปูนกับทราย นำปูนหนักผสมกับทราย และปูนซิเมนต์ขาวโดยปริมาตรดังนี้ปูนซิเมนต์ขาว 1 ส่วน, ปูนหนัก 2 ส่วน, ทรายหาน 9 ส่วน ผสมน้ำพอให้ปูนทรายเข้ากันดี จึงนำไปใช้ก่ออิฐ

2.4 วัสดุคอมโพสิตเสริมเส้นใย (Fiber-Reinforced Polymer Composite หรือ FRP Composite) [5]

วัสดุคอมโพสิต (composite material) เป็นวัสดุที่ประกอบกันมากกว่า 2 ชนิดขึ้นไป เช่นวัสดุคอมโพสิตประเภทพลาสติกเสริมเส้นใย (fiber-reinforced plastic หรือ FRP) กับคอนกรีตเสริมเหล็ก จะพบว่าเส้นใยทำหน้าที่เปรียบเสมือนเหล็กเสริมและพลาสติกทำหน้าที่เปรียบเสมือนคอนกรีต ปัจจุบันพลาสติกเสริมเส้นใย (fiber-reinforced plastic หรือ FRP) โดยเฉพาะแบบอีป็อกซี่ (epoxy) เสริมเส้นใยคาร์บอน (carbon fiber) หรือเส้นใยเกฟลาร์ (kevlar fiber) หรือเส้นใยแก้ว (glass fiber) ได้ถูกนำมาใช้งานวิศวกรรมโยธาในหลายด้าน เช่น ใช้แทนเหล็กเสริม ใช้ในการเสริมกำลัง (strengthening) และซ่อมแซม (repair) โครงสร้าง และใช้เป็นวัสดุก่อสร้างองค์อาคาร และโครงสร้างต่างๆ

2.5 พฤติกรรมของผนังอิฐก่อ (Masonry Wall) รับแรงกระทำด้านข้างแบบซ้ายไปขวา

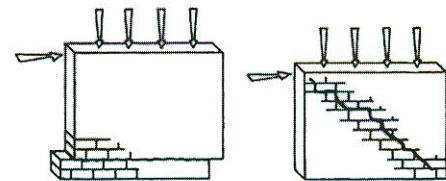
Mihajlo Tomazevic (2008) เมื่อผนังอิฐก่อถูกแรงกระทำรวมกันทั้งทางด้านแนวตั้ง และแนวราบพฤติกรรมของผนังอิฐก่อที่นั้นจะขึ้นอยู่กับอัตราส่วนความสูงต่อกว้างของผนัง (height/length ratio), คุณสมบัติ และกำลังของอิฐก่อ นอกจากนี้ยังขึ้นอยู่กับอัตราส่วนระหว่างหน่วยแรงใช้งาน (Working Stress) ในผนังอิฐก่อ กับหนาแนกที่กระทำ และกำลังอัดของอิฐก่อ เช่น เดียวกันผนังอิฐก่อเมื่อรับแรงด้านข้างพฤติกรรมของผนังอิฐก่อจะขึ้นอยู่กับทิศทางและขนาดของแรงกระทำด้วยเช่นกัน เมื่อพิจารณาผนังอิฐก่อรับ

แรงกระทำทางด้านข้างและตัวแปรต่างๆ ดังกล่าวที่มีผลต่อพฤติกรรมของผนังก่ออิฐแล้ว อาจจะทำให้ผนังอิฐก่อวินาศภัยไม่สามารถด้านแรงกระทำได้ใน 2 กรณี ด้วยกันคือ

1) Shear Sliding failure จะเกิดขึ้นเมื่อมีแรงก้นอัดในแนวตั้ง (Vertical compressive stresses) เกิดขึ้นในผนังมีขนาดต่ำและมอร์ตาร์ที่ใช้ในการก่ออิฐไม่มีคุณภาพดังรูปที่ 1 ลักษณะการวินาศภัยเช่นนี้นานๆ ครั้งจะจะเกิดขึ้นซึ่งจะพบบ่อยในส่วนล่างของผนัง

2) Diagonal tension shear failure จะเกิดขึ้นเมื่อบนผนังอิฐก่อจากด้านล่างของผนังขึ้นไปทางด้านบนผนังในแนวทแยง ดังรูปที่ 1 ลักษณะการวินาศภัยเช่นนี้จะขึ้นอยู่กับคุณภาพของอิฐก่อ และมอร์ตาร์ ลักษณะรอยแตกในแนวทแยงนี้อาจแบ่งได้อีกคือ

- 2.1) รอยแตกตามรอยต่อของอิฐก่อ
- 2.2) รอยแตกผ่าอิฐก่อ
- 2.3) มีทั้งรอยแตกตามรอยต่อ และผ่าอิฐก่อ



รูปที่ 2 การวินาศภัยของผนังอิฐก่อเมื่อรับแรงกระทำแนวตั้งและแนวราบ

3. วิธีดำเนินงานวิจัย

3.1 รูปแบบการทดสอบของผนังอิฐก่อโบราณ

การทดสอบผนังอิฐก่อโบราณตัวอย่าง จำนวน 4 ตัวอย่าง มีรูปแบบการเสริม FRP ตามตารางที่ 1 ตารางที่ 1 รูปแบบของผนังตัวอย่างสำหรับการทดสอบ

ผนังทดสอบ	รูปแบบการเสริม FRP
AMW01	ไม่เสริมวัสดุ FRP
AMW01_FRP.A	ซ้อนแซมด้วย FRP เมื่อจากวินต์
AMW04_FRP.D	เสริมด้วย FRP ร้อยละ 40 ของพื้นที่ผิวผนัง แนวกากบาท 1 ด้าน
AMW05_FRP.E	เสริมด้วย FRP ร้อยละ 40 ของพื้นที่ผิวผนัง เป็นแบบตารางแนวตั้งและแนวนอน 1 ด้าน

3.2 การเตรียมผนังอิฐก่อโบราณทดสอบ

ขนาดของผนังอิฐก่อโบราณในอัตราส่วนความสูงต่อกำลังยาว (height to length) 1 : 1 จะทำให้ลักษณะพฤติกรรมแรงเฉือนในผนังอิฐก่อภายน้ำได้แรงกระทำทางด้านข้างแบบช้าไปช้ามีความชัดเจนโดยมีรายละเอียดในการเตรียมผนังอิฐก่อโบราณตัวอย่าง ดังนี้

1) ก่อผนังอิฐก่อโบราณตัวอย่างแต่ละผนัง ขนาด $1.50 \times 1.50 \times 0.60$ ม. ดังแสดงในรูปที่ 3

2) ผนังอิฐก่อโบราณตัวอย่าง ก่ออยู่บนฐานรากคอนกรีตเสริมเหล็กขนาด $0.90 \times 2.00 \times 0.30$ ม. ที่ขัดแย่นน้ำด้วยเหล็กเส้นตีเกลียว และขัดแน่นด้วย Bolt โดยการเจาะฝังด้วย Chemical Bolt ลงในพื้นห้องปฏิบัติการ ดังแสดงในรูปที่ 7

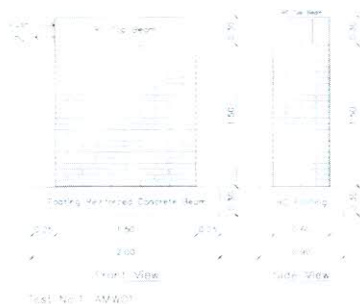
3) เตรียมปูนก่อโบราณ สมชาติ (2540) [2] โดยนำปูนขาวที่หมักในน้ำแล้ว 60 วันขึ้นไป จากแหล่งผลิตบ้านลุ่มพลี มาผสมกับปูนซีเมนต์ขาวและทราย อัตราส่วน 2 : 1 : 9 ผลการทดสอบมีกำลังอัดประดับ 64.80 กก./ซม.² และค่าจั่งไม้ดูลัสร่วม $14,530$ กก./ซม.²

4) ความหนาของอิฐก่อแต่ละชั้นมีความหนา 6 ซม. โดยเป็นความหนาปูนก่อ 1 ซม. และความหนาอิฐ 5 ซม.

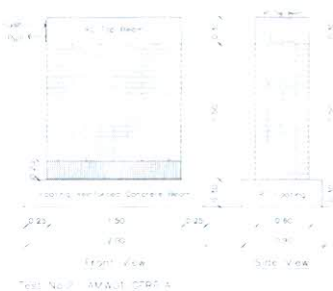
5) ด้านบนของผนังอิฐก่อทดสอบมีคานคอนกรีตเสริมเหล็กขนาด $0.60 \times 0.30 \times 1.50$ ม.

6) ขีดฐานไฮดรอลิกส์แจ็ค (Hydraulic jack) บนโครงเหล็กทดสอบ (Load Frame) และขีดต่อ กับ荷重เซล (Load Cell) เพื่อเป็นแรงกระทำทางด้านข้างแบบช้าไปช้า (Cyclic Lateral Loading) และขีด荷重เซล (Load Cell) ดังกล่าวเข้ากับตัวผนังอิฐก่อทดสอบด้วยเหล็กแผ่นประกบเข้ากับคานคอนกรีตเสริมเหล็กโดยมี Bolt ที่ผ่านไว้กับคานคอนกรีตเสริมเหล็กเป็นตัวถ่ายแรงดังแสดงในรูปที่ 7

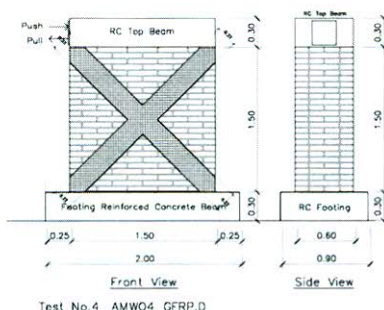
9) ติดตั้ง Electric Strain Gages และ LVDT (Linear Variable Displacement Transducers) ตำแหน่งดังแสดงในรูปที่ 7



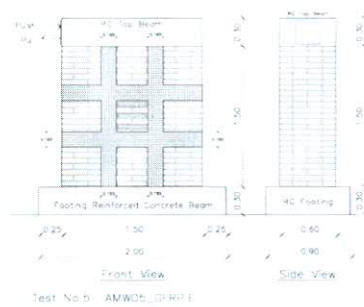
รูปที่ 3 ผนังตัวอย่าง AMW01



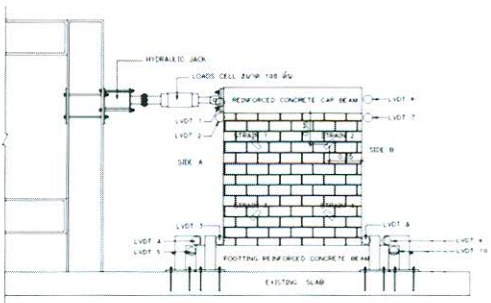
รูปที่ 4 ผนังตัวอย่าง AMW01_GFRP.A



รูปที่ 5 ผนังตัวอย่าง AMW04_GFRP.D



รูปที่ 6 ผนังตัวอย่าง AMW05_GFRP.E



รูปที่ 7 ผนังอิฐก่อโบราณสำหรับการทดสอบ Test setup

10) ติดตั้งเส้นใยไฟเบอร์ (FRP) ชนิดเส้นไขเก้า Glass Fiber (GFRP) แบบแผ่นเส้นไข (Fiber Sheet) บนผนังอิฐก่อโบราณดังรูปที่ 4,5 และ 6 โดยขัดผิวผนังอิฐก่อโบราณ ตามแน่นที่จะติดตั้ง FRP ให้เรียบ เช็คทำความสะอาดผิว ด้วยผ้าแห้ง ดังรูปที่ 8 หากซินเทียร์แกรนท์พื้นผิวนั้นที่ติดเรียบร้อยแล้ว ให้หันด้านที่ต้องติดตั้ง FRP ให้เข้ากับผนังอิฐก่อโบราณที่ต้องติดตั้ง FRP ให้เรียบ เช็คทำความสะอาดผิว ด้วยผ้าแห้ง ดังรูปที่ 9 ทิ้งไว้ให้แห้งอย่างน้อย 1 สัปดาห์ หากซินเทียร์แกรนท์พื้นผิวนั้นที่ติดเรียบร้อยแล้ว ให้หันด้านที่ต้องติดตั้ง FRP ให้เข้ากับผนังอิฐก่อโบราณที่ต้องติดตั้ง FRP ให้เรียบ เช็คทำความสะอาดผิว ด้วยผ้าแห้ง ดังรูปที่ 9 ทิ้งไว้ให้แห้งอย่างน้อย 1 สัปดาห์ จึงสามารถทำการทดสอบได้



รูปที่ 8 ขัดพื้นผิวผนังอิฐก่อตัวอย่างเพื่อติด FRP



รูปที่ 9 การติดตั้งแผ่น FRP

3.3. การดำเนินการทดสอบผนังอิฐก่อโบราณ

การดำเนินการทดสอบ โดยให้แรงกระทำทางด้านข้างแบบวัฏจักร (Cyclic Lateral Loading) กับผนังอิฐก่อโบราณตัวอย่าง ทดสอบในอาคารปฏิบัติการของศูนย์อุตสาหกรรมอิตาเลียนไทยสำนักวิหารโครงสร้างหัวดีไซน์ มีรายละเอียดดังนี้ [4]

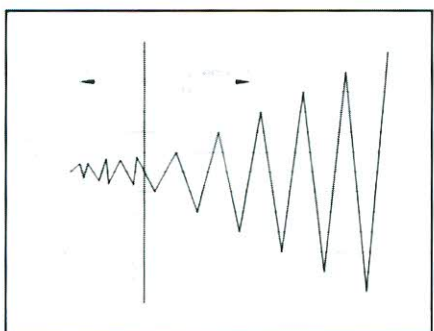
1) การให้แรงกระทำ (load) ในช่วงเริ่มต้น จะใช้วิธีการควบคุมด้วยแรง (Force Controlled) โดยการให้แรงกระทำเพิ่มขึ้นเรื่อยๆ ละ 2 kN ครั้งละครั้งรอบจนครบหนึ่งรอบ (ดัน-ดึง) ของรอบการทดสอบที่ 1 และในรอบการทดสอบที่ 2 เพิ่มแรงเป็น 4 kN ต่อครั้งๆ ละครั้งรอบจนครบ 1 รอบ (ดัน-ดึง) ทำให้เข่นเดียวกันนี้ในรอบการทดสอบต่อๆ ไป (ดัน-ดึง) จนผนังอิฐก่อที่ทดสอบเกิดรอยแตกร้าว (First Cracking) ดังแสดงในรูปที่ 10

2) หลังจากผนังอิฐก่อตัวอย่างเกิดรอยแตกร้าว (First Cracking) ให้เปลี่ยนการให้แรงกระทำ (load) เป็นการควบคุมด้วยระยะการเคลื่อนที่ (Displacement Controlled) ของไฮดรอลิกส์เจ็ค ครั้งละ 1 มม. ดังแสดงในรูปที่ 10 โดยทุกๆ ครั้งรอบ (ดัน หรือดึง) ให้หยุดเพื่อทำการตรวจสอบ เสียงหายของผนังอิฐก่อทดสอบ และในกรณีของการเสริมเส้นใยไฟเบอร์ (FRP) ที่ให้ตรวจสอบความเสียหาย (debonding) ของสีน้ำเงิน (fibersheet) ด้วยทำเข่นเดียวกันนี้ทุกๆ ระยะการเคลื่อนที่จนกว่าผนังจะเกิดการวินติและไม่สามารถรับแรงต่อไปได้อีก

3) การวัดระยะการเคลื่อนที่ (Displacement Controlled) ของไฮดรอลิกส์เจ็ค จะควบคุมผ่าน LVDT (Linear Variable Displacement Transducers) ที่ดำเนินการคานคอกนกรีตเสริมเหล็กด้านบนของผนังอิฐก่อทดสอบ

4) หลังจากผนังอิฐก่อตัวอย่าง เกิดรอยแตกร้าว (First Cracking) ด้วยวิธีการควบคุมด้วยแรง (Force Controlled) ทำการวัดค่าระยะการเคลื่อนที่ไว้ด้วย ซึ่งจะเป็นระยะการเคลื่อนที่เริ่มต้นหลังจากผนังอิฐก่อเริ่มแตกร้าว (First Crack Displacement)

5) การยึดหดตัวของผนังอิฐก่อทดสอบ และ FRP วัดได้จาก Electric Strain Gages บนผนังอิฐก่อ



รูปที่ 10 Loading sequence for static cyclic loading

4. ผลการทดสอบ และวิเคราะห์ผลการทดสอบ

4.1 ผนังอิฐก่อโบราณทดสอบ AMW01

การควบคุมด้วยแรง ผนังมี First Crack ที่แรงกระทำ 3.30 kN, Displacement 0.09 มม., ความคุณด้วยระยะการเคลื่อนที่ Displacement 2.05 มม. ได้แรงกระทำสูงสุด 16.00 kN, เมื่อ Displacement 3.05 มม. แรงกระทำ 13.66 kN และผนังไม่สามารถรับแรงกระทำได้ต่อไปได้อีก เกิดการวินบัดของผนัง โดยผนังจะเกิดการแตกคร้ำจากริมผนังด้านนอกเข้าสู่ภายในผนัง บริเวณด้านล่างทั้ง 2 ด้านตามทิศทางของแรงที่กระทำ (Shear Sliding failure) ดังรูปที่ 11



รูปที่ 11 รอยแตกคร้ำของผนัง AMW01

4.2 ผนังอิฐก่อโบราณทดสอบ AMW01_FRP.A

การควบคุมด้วยแรงผนังมี First Crack ที่แรงกระทำ 16.00 kN, Displacement 0.65 มม., ความคุณด้วยระยะการเคลื่อนที่ Displacement 4.00 มม. ได้แรงกระทำสูงสุด 25.00 kN, เมื่อ Displacement 7.00 มม. แรงกระทำ 18.84 kN และผนังไม่สามารถรับแรงกระทำได้ต่อไปได้อีก เกิดการวินบัด

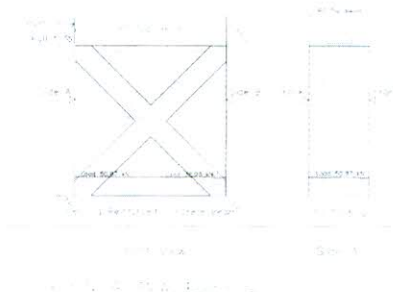
ของผนัง โดยผนังจะเกิดการแตกคร้ำจากริมผนังด้านนอกเข้าสู่ภายในผนัง บริเวณด้านล่างทั้ง 2 ด้านตามทิศทางของแรงที่กระทำ (Shear Sliding failure) ดังรูปที่ 12



รูปที่ 12 รอยแตกคร้ำของผนัง AMW01_FRP.A

4.3 ผนังอิฐก่อโบราณทดสอบ AMW04_FRP.D

การควบคุมด้วยแรง ผนังมี First Crack ที่แรงกระทำ 26.00 kN, Displacement 1.09 มม., ความคุณด้วยระยะการเคลื่อนที่ Displacement 2.96 มม. ได้แรงกระทำสูงสุด 50.87 kN, เมื่อ Displacement 3.97 มม. แรงกระทำ 28.26 kN และผนังไม่สามารถรับแรงกระทำได้ต่อไปได้อีก เกิดการวินบัดของผนัง โดยผนังจะเกิดการแตกคร้ำจากริมผนังด้านนอกเข้าสู่ภายในผนัง บริเวณด้านล่างทั้ง 2 ด้านตามทิศทางของแรงที่กระทำ (Shear Sliding failure) ดังรูปที่ 13

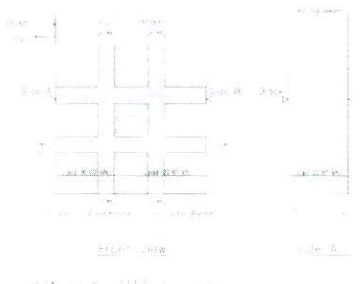


รูปที่ 13 รอยแตกคร้ำของผนัง AMW04_FRP.D

4.4 ผนังอิฐก่อโบราณทดสอบ AMW05_FRP.E

การควบคุมด้วยแรงผนังมี First Crack ที่แรงกระทำ 18.00 kN, Displacement 0.83 มม., ความคุณด้วยระยะการเคลื่อนที่ Displacement 1.09 มม. ได้แรงกระทำสูงสุด 22.61

kN, เมื่อ Displacement 3.14 มม. แรงกระทำ 19.31 kN และผนังไม่สามารถรับแรงกระทำได้ต่อไปได้อีก เกิดการบิดเบี้ยวของผนัง โดยผนังจะเกิดการแตกกร้าวจากริมผนังด้านนอกเข้าสู่ภายในผนัง บริเวณด้านล่างห้องทั้ง 2 ด้านตามทิศทางของแรงกระทำ (Shear Sliding failure) ดังรูปที่ 14



รูปที่ 14 รอยแตกกร้าวของผนัง AMW05_FRP.E

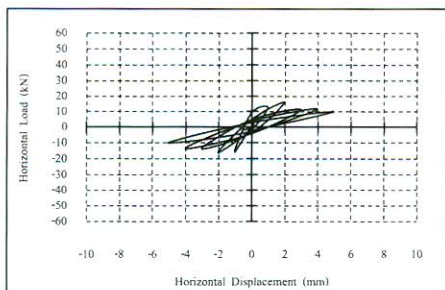
4.5 ความสัมพันธ์ระหว่างการเคลื่อนตัวของผนังอิฐก่อ โดยรวมกับการรับแรงกระทำทางด้านข้างแบบช้าไปช้ามา

จากการทดสอบผนังอิฐก่อโดยรวมตัวอย่างรับแรงกระทำด้านข้างแบบช้าไปช้ามาจำนวน 4 ตัวอย่าง สามารถวิเคราะห์ผลการทดสอบแต่ละตัวอย่าง ดังนี้

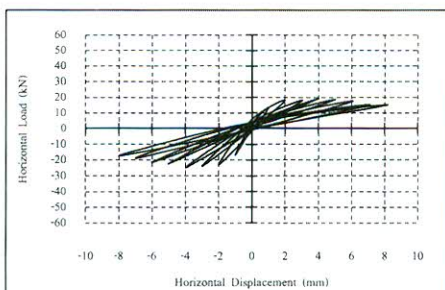
1) ผนังตัวอย่างทดสอบ AMW01 ผลการทดสอบสามารถรับแรงกระทำด้านข้างแบบช้าไปช้ามา Load Max 16.00 kN, Displacement 2.05 มม. จากรูปที่ 15 พบว่าเส้นวงรอบมีลักษณะแคบและสั้น จำนวนเส้นวงรอบน้อย ซึ่งทำให้ทราบว่าผนังอิฐก่อสามารถรับแรงกระทำได้น้อยและผนังสามารถเคลื่อนที่ได้น้อย

2) ผนังตัวอย่างทดสอบ AMW01_FRP.A ผลการทดสอบสามารถรับแรงกระทำด้านข้างแบบช้าไปช้ามา Load Max 25.00 kN, Displacement 4.00 มม. จากรูปที่ 16 พบว่าเส้นวงรอบมีลักษณะแคบและยาว จำนวนเส้นวงรอบมากขึ้น ซึ่งทำให้ทราบว่าผนังอิฐก่อสามารถรับแรงกระทำ และสามารถเคลื่อนที่ได้มากกว่าการทดสอบผนังอิฐก่อ AMW01

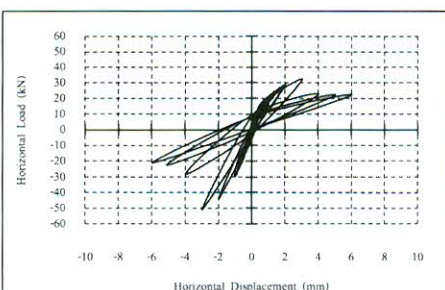
3) ผนังตัวอย่างทดสอบ AMW04_FRP.D ผลการทดสอบสามารถรับแรงกระทำด้านข้างแบบช้าไปช้ามา Load Max 50.87 kN, Displacement 3.97 มม. จากรูป



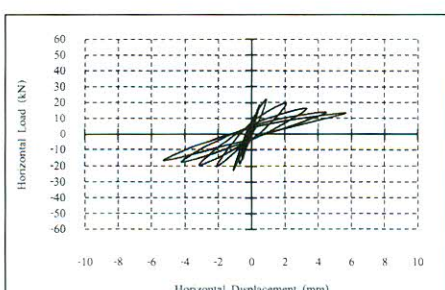
รูปที่ 15 Hysteretic Curve of AMW 01



รูปที่ 16 Hysteretic Curve of AMW01_FRP.A



รูปที่ 17 Hysteretic Curve of AMW04_FRP.D



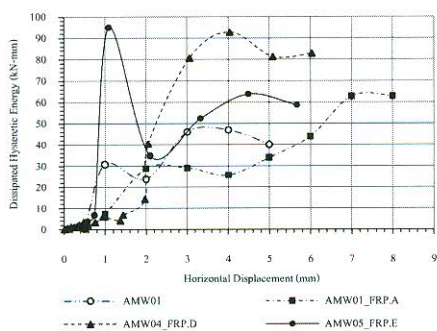
รูปที่ 18 Hysteretic Curve of AMW05_FRP.E

ที่ 17 พบว่าส่วนของมีลักษณะแคนและยาว จำนวนสี่ส่วน รองรับมากที่สุด ทำให้ทราบว่าผนังอิฐก่อสามารถรับแรงกระทำและเคลื่อนที่ได้เพิ่มขึ้น ประมาณ 4 เท่าของผนังอิฐก่อ AMW01 เนื่องจากการเสริมกำลังในตำแหน่งที่รับแรงหรือโมเมนต์สูงสุด

4) ผนังตัวอย่างทดสอบ AMW05_FRP.E ผลการทดสอบสามารถรับแรงกระทำด้านข้างแบบช้าไปช้ามา Load Max 22.61 kN, Displacement 1.09 มม. จากรูปที่ 18 พบว่าส่วนของมีลักษณะแคนและสั้น จำนวนส่วนของส่วนที่รับแรงกระทำและเคลื่อนที่ได้น้อยกว่าการเสริมกำลังด้วย FRP ในรูปแบบอื่น

4.6 การกระจายพลังงาน (Energy Dissipation)

การเปรียบเทียบผลการกระจายพลังงานดังรูปที่ 19 ของผนังอิฐก่อโดยรวมตัวอย่างทดสอบพบว่าผนังอิฐก่อโดยรวมที่เสริม FRP ร้อยละ 40 ในแนวภาพบทหนึ่งด้านมีการกระจายพลังงานได้ดีที่สุด เนื่องจากการเสริม FRP อยู่ในตำแหน่งการเกิดโมเมนต์ที่ฐานด้านล่างของผนังอิฐก่อทดสอบ การวินิจฉัยนี้จากโมเมนต์จะเกิดเป็นแรงดึง ดังนั้นการเสริม FRP ดังกล่าวช่วยยืดหยุ่นในตำแหน่งรับแรงดึง จึงสามารถช่วยในการกระจายพลังงานได้กว่าการเสริม FRP ในรูปแบบอื่นๆ



รูปที่ 19 Dissipated Hysteretic Energy

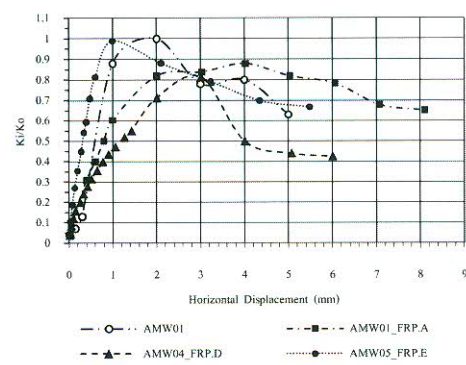
4.7 ความสามารถในการเสียรูป (Ductility)

ความสามารถในการเสียรูป (Ductility) ผลที่ได้คือความสามารถในการเสียรูปจากการรับแรงกระทำแบบ

ช้าไปช้ามา สามารถหาได้จากอัตราส่วนระหว่างระดับการเคลื่อนที่ของผนังเมื่อรับกำลังสูงสุด (Ultimate Load) กับระดับการเคลื่อนที่ของผนังเมื่อเกิดการวินิจฉัย (Failure) ซึ่งจะเกิดขึ้นหลังจากผนังอิฐก่อโดยรวมรับแรงกระทำทางด้านข้างแบบช้าไปช้ามาได้สูงสุด และการรับแรงเริ่มลดลงประมาณ 20 เปอร์เซ็นต์ จากผลการทดสอบมีค่า Ductility ดังนี้ AMW01 33.88, AMW01_FRP.A 10.77, AMW04_FRP.D 3.64 และ AMW05_FRP.E 3.78

4.8 ค่า Stiffness

ความต้านทานแรงกระทำทางด้านข้างของผนังอิฐก่อโดยรวมทดสอบดังรูปที่ 20 คือการรวมหน่วยแรงที่เกิดขึ้นทั้งค่าบวกและค่าลบของแรงที่เกิดขึ้นในแต่ละเส้นวง โดยไม่นับเครื่องหมาย ผลที่ได้คือความแข็งแรงที่ต้านแรงกระทำทางด้านข้างแบบช้าไปช้ามา K_i คือค่าเฉลี่ยของแรงที่เกิดขึ้นในแต่ละเส้นวง K_0 คือค่าแรงสูงสุดที่เกิดขึ้นในการทดสอบนั้นๆ K_i/K_0 คือการเปรียบเทียบแรงที่เกิดขึ้นต่อแรงสูงสุดและลักษณะการเคลื่อนที่ของผนังอิฐก่อโดยรวมทดสอบที่เกิดขึ้นของแต่ละรอบการเคลื่อนที่ การเปรียบเทียบค่าความต้านทานแรงกระทำทางด้านข้างของผนังอิฐก่อโดยรวม พบว่าการเสริม FRP บนผิวผนังอิฐก่อโดยรวมสามารถช่วยด้านทานแรงกระทำทางด้านข้างแบบช้าไปช้ามาได้



รูปที่ 20 Stiffness ของผนังอิฐก่อโดยรวมทดสอบ

5. สรุปผลการวิจัย

จากผลการทดลองการรับแรงกระทำด้านข้างแบบ ข้ามไปข้างมา ของผนังอิฐก่อโบราณตัวอย่าง ซึ่งมีลักษณะ และรูปแบบการเสริมแรง หรือซ่อมแซมแตกต่างกัน ทั้ง 4 ตัวอย่างดังที่ได้กล่าวมาแล้วนั้น พบว่า พฤติกรรมของผนัง อิฐก่อโบราณตัวอย่างจะวิบติในลักษณะเป็นแรงเฉือนแตก ร้าวตลอดแนวปูนก่อ จนกระหั่งปูนก่อขาดออกจากกัน (Shear Sliding failure) บริเวณฐานล่างใกล้กับฐาน ค.ส.ล. ผนังอิฐก่อโบราณตัวอย่างที่เสริมแรง ด้วย FRP หรือ ซ่อมแซมหลังการวิบติ ด้วย FRP จะมีความสามารถในการ รับแรงกระทำด้านข้างเพิ่มขึ้น ด้านที่ไม่ได้เสริม FRP จะ เกิดรอยแตกร้าว ก่อน ด้านที่เสริม FRP แสดงว่าวัสดุ FRP สามารถยึดเกาะกับผนังเจาะเป็นเนื้อเดียวกันและสามารถ รับแรงกระทำได้ในที่สุด รูปแบบการเสริม FRP ในแนว กำหนดสามารถรับแรงกระทำด้านข้างได้มากที่สุด ซึ่ง มากกว่ารูปแบบอื่นๆ เนื่องจากมีการเสริมกำลังในตำแหน่ง ที่รับแรงกระทำหรือโมเมนต์สูงสุด

เอกสารอ้างอิง

- [1] สุดชาย พานสุวรรณ, การวิเคราะห์โบราณสถานก่ออิฐ ในเชิงวิศวกรรม, วิทยานิพนธ์ปริญญาวิศวกรรมศาสตร์บัณฑิต สาขาวิศวกรรมโยธา บัณฑิต วิทยาลัยมหาวิทยาลัยเกษตรศาสตร์, 2543.
- [2] สมชาติ จึงสิริอาวกษ์, การอนุรักษ์อาคารโครงสร้างและ วัสดุของโบราณสถาน, มหาวิทยาลัยศิลปากร, กรุงเทพฯ, 2540. หน้า 1-103
- [3] Miha Tomazevic, "Shear resistance of masonry walls and Eurocode 6", **Materials and Structures** (2009), No. 42, Published online, 23 September 2008. pp 889-907.
- [4] Hernán Santa María, Pablo Alcaino and Carl Luders, "EXPERIMENTAL RESPONSE OF MASONRY WALLS EXTERNALLY REINFORCED WITH CARBON FIBER FABRICS", U.S. National Conference on Earthquake Engineering, Proceedings of the 8th, April 18-22, 2006, San Francisco, California, USA, 2006 Paper No. 1402.
- [5] ธรรมชาติ ภูลประภา, "การใช้พลาสติกเสริมสันไบแบบ ต่อเนื่อง (FRP)", การอบรมของสมาคมคอนกรีต แห่งประเทศไทย, รุ่นที่ 2, 29 กรกฎาคม 2552, ห้องประชุม 3 ชั้น 3 อาคารวิศวกรรมสถานแห่ง ประเทศไทย, 2552. หน้า 12-26
- [6] ชาติชาย รัมศักดิ์, การศึกษาวิวัฒนาการองค์ประกอบ และการใช้ประโยชน์ของดินเพื่อการตั้งถิ่นฐาน ในภาคเมืองพระนครศรีอยุธยา, สำนักงานโบราณ คดีและพิพิธภัณฑสถานแห่งชาติที่ 3, พระนคร ศรีอยุธยา, 2539. หน้า 1-210